

## ЛИТЕРАТУРА

1. M. Chodogow, E. L. Ginzton, Rev. Sc. Instr., 26, 135 (1955).
2. Г. Н. Рапопорт, Радиотехника, 8, 3, 36 (1953).
3. Техника сверхвысоких частот, 1, пер. с англ., изд. Сов. радио, М., 1952.
- 4 Измерения на сверхвысоких частотах, пер. с англ., Сов. радио, М., 1952.

Физико-технический институт АН УССР

Поступила в редакцию  
21 апреля 1959 г.

## ЭНЕРГООБМЕН ПРИ ДИСКРЕТНОМ ВЗАИМОДЕЙСТВИИ ЭЛЕКТРОНОВ С БЕГУЩЕЙ ЭЛЕКТРОМАГНИТНОЙ ВОЛНОЙ

В. Н. Шевчик, Л. Д. Покровский

Анализ энергообмена между электронами и электромагнитной волной, распространяющейся в периодической структуре, может проводиться путем рассмотрения дискретного взаимодействия электронного потока с последовательностью высокочастотных полей, разделенных промежутками, свободными от поля [1]. Такое рассмотрение является одним из возможных способов описания электроники систем с бегущими волнами и отличается известной общностью.

В работе [1] проведен анализ каскадного взаимодействия электрочувствительности волны постоянной амплитуды в предположении малых углов пролета через области взаимодействия. В настоящей статье этот анализ развивается на случай, когда соотношение между протяженностью высокочастотного промежутка и длиной пространства, разделяющего соседние зазоры, может быть произвольным.

Схема, в рамках которой производится анализ взаимодействия электронного потока и бегущей электромагнитной волны, представляет систему из высокочастотных промежутков (зазоров) протяженности  $d$ , разделенных свободным от поля пространством длины  $l$ . Период системы, отсчитываемый от начала предыдущего до начала следующего зазора, равен  $d + l$ . Указанная система пронизывается электронным пучком, причем на входе в первый зазор электроны имеют начальную скорость  $v_0$  и создают ток  $I_0$ . Будем полагать, что момент  $t_k$  соответствует времени входа электрона в  $k$ -ый зазор, а момент  $t_k'$  — времени выхода из него.

Считаются справедливыми следующие упрощающие предположения: 1) электромагнитная волна, распространяющаяся в области связи (вне зазоров), возбуждается в них стоячие электромагнитные поля, амплитуда которых одинакова во всех зазорах; 2) амплитуды высокочастотных полей в зазорах малы; 3) при подсчете действия высокочастотного электрического поля на электронный поток обратное влияние луча на поле системы выражается лишь через энергетическое взаимодействие; изменение распределения электромагнитного поля в системе вследствие этого взаимодействия не рассматривается (приближение заданного поля) [2].

Интегрируя при указанных предположениях уравнения движения электрона в полях последовательных зазоров, получим выражение для скорости электрона в точке  $x$   $k$ -го зазора:

$$v_{kx} = v_0 \left\{ 1 - j\mu e^{j\omega t_1} \left[ \sum_{p=1}^{k-1} (e^{j\varphi_{pd}} - 1) e^{j(p-1)\Phi_0} + e^{j(k-1)\Phi_0} (e^{j\varphi_{kx}} - 1) \right] \right\}, \quad (1)$$

где  $p$  — индекс суммирования,  $\mu = \xi/2\varphi_{0d}$ ;  $\xi = V_1/V_0$  ( $V_0$  — ускоряющий потенциал,  $V_1$  — амплитуда высокочастотного напряжения),  $\varphi_{kx} = \omega x/v_{kx}$ ,  $\Phi_0 = \omega(d+l)p/v_0$  ( $p = 1 - v_0/v_\Phi$ ;  $v_\Phi$  — фазовая скорость).

Вычислив аналогично значение текущей координаты электрона в  $k$ -ом зазоре  $x_k$  и полагая  $\omega(t - t_k) = \varphi_{kx}$ ,  $\omega x_k/v_0 = (k-1)p\omega/v_0 = \varphi_{0kx}$ , получим выражение для возмущенного угла пролета:

$$\varphi_{kx} = \varphi_{0kx} + \mu e^{j\omega t_1} \left\{ j\varphi_{kx} \sum_{p=1}^{k-1} (e^{j\varphi_{pd}} - 1) e^{j(p-1)\Phi_0} + e^{j(k-1)\Phi_0} (e^{j\varphi_{kx}} - 1 - j\varphi_{kx}) \right\}. \quad (2)$$

Используя предположение о малости сигнала ( $\mu \ll 1$ ), преобразуем (1) и (2) к виду:

$$v_{kx} = v_0 \left\{ 1 - j\mu e^{j\omega t_1} \left[ (e^{j\varphi_{0d}-1}) \sum_{p=1}^{k-1} e^{j(p-1)\Phi_0} + e^{j(k-1)\Phi_0} (e^{j\varphi_{0x}} - 1) \right] \right\}; \quad (1a)$$

$$\varphi_{kx} = \varphi_{0x} + \mu e^{j\omega t_1} \left\{ j\varphi_{0x} (e^{j\varphi_{0d}} - 1) \sum_{p=1}^{k-1} e^{j(p-1)\Phi_0} + e^{j(k-1)\Phi_0} (e^{j\varphi_{0x}} - 1 - j\varphi_{0x}) \right\}. \quad (2a)$$

Определив скорость электрона в момент его вылета из  $(k-1)$ -го зазора, найдем угол пролета в пространстве между  $(k-1)$ -ым и  $k$ -ым высокочастотными промежутками:

$$\Theta_{k-1} = \omega(t_k - t'_{k-1}) = \omega l/v_{k-1}(t = t'_{k-1}) = \theta_0 + j\mu\theta_0 (e^{j\varphi_{0d}} - 1) e^{j\omega t_1} \sum_{p=1}^{k-1} e^{j(p-1)\Phi_0}, \quad (3)$$

где  $\theta_0 = \omega l/v_0$ . Суммируя (2a) и (3) по всем зазорам и пространствам дрейфа, получим выражение для полного угла пролета электрона через всю систему:

$$\begin{aligned} \omega t - \omega t_1 &= (k-1)(\varphi_0 + \theta_0) + \varphi_{0x} + j\mu\theta_0 e^{j\omega t_1} (e^{j\varphi_{0d}} - 1) \sum_{n=2}^k \sum_{p=1}^n e^{j(p-2)\Phi_0} + \\ &+ \mu e^{j\omega t_1} \left\{ j\varphi_{0d} (e^{j\varphi_{0d}} - 1) \sum_{n=0}^{k-2} \sum_{p=1}^n e^{j(p-1)\Phi_0} + j\varphi_{0x} (e^{j\varphi_{0d}} - 1) \sum_{p=1}^{k-1} e^{j(p-1)\Phi_0} + \right. \\ &\left. + (e^{j\varphi_{0d}} - 1 - j\varphi_{0d}) \sum_{n=0}^{k-2} e^{jn\Phi_0} + (e^{j\varphi_{0x}} - 1 - j\varphi_{0x}) e^{j(k-1)\Phi_0} \right\}. \end{aligned} \quad (4)$$

Используя (4) и предположение  $\mu \ll 1$ , из закона сохранения заряда найдем сгруппированный ток:

$$\begin{aligned} i_k &= I_0 + \mu I_0 e^{j\omega t_1} \left\{ -j \left[ j\varphi_{0d} (e^{j\varphi_{0d}} - 1) \sum_{n=0}^{k-2} \sum_{p=1}^n e^{j(p-1)\Phi_0} + \right. \right. \\ &+ j\varphi_{0x} (e^{j\varphi_{0d}} - 1) \sum_{p=1}^{k-1} e^{j(p-1)\Phi_0} + (e^{j\varphi_{0d}} - 1 - j\varphi_{0d}) \sum_{n=0}^{k-2} e^{jn\Phi_0} + \\ &\left. \left. + (e^{j\varphi_{0x}} - 1 - j\varphi_{0x}) e^{j(k-1)\Phi_0} \right] + \theta_0 (e^{j\varphi_{0d}} - 1) \sum_{n=2}^k \sum_{p=1}^n e^{j(p-2)\Phi_0} \right\}. \end{aligned} \quad (5)$$

Выделяя из (5) переменную составляющую тока  $\tilde{i}_k$ , вычислим мощность взаимодействия сгруппированного тока и высокочастотного поля в  $k$ -ом промежутке, которая определяется интегралом

$$\overline{P} = \frac{1}{2} \int_0^d \tilde{i}_k \tilde{E}_k^* dx,$$

где  $E_k = (V_1/d) e^{-j[\omega t_1 + (k-1)\Phi_0 + \varphi_{0x}]}$ .

Используя (5), после интегрирования и суммирования рядов получим

$$\begin{aligned} \overline{P}_k &= \mu^2 I_0 V_0 \left\{ j\varphi_0 (2 - e^{j\varphi_0} - e^{-j\varphi_0}) \frac{1 - (k-1) e^{-j(k-2)\Phi_0} + (k-2) e^{-j(k-1)\Phi_0}}{(e^{j\Phi_0} - 1)^2} + \right. \\ &+ 2 [2 - e^{j\varphi_0} - e^{-j\varphi_0} + j\varphi_0 (1 - e^{-j\varphi_0})] \frac{1 - e^{-j(k-1)\Phi_0}}{e^{j\Phi_0} - 1} + 2 - j\varphi_0 - 2e^{-j\varphi_0} - j\varphi_0 e^{-j\varphi_0} + \\ &\left. + j\theta_0 (2 - e^{j\varphi_0} - e^{-j\varphi_0}) \frac{e^{j\Phi_0} - k e^{-j(k-2)\Phi_0} + (k-1) e^{-j(k-1)\Phi_0}}{(e^{j\Phi_0} - 1)^2} \right\}. \end{aligned} \quad (6)$$

Суммируя (6) по всем зазорам, после разделения действительной и мнимой частей для активной  $\bar{P}_a$  и реактивной  $\bar{P}_r$  компонент мощности взаимодействия найдем:

$$\begin{aligned} \bar{P}_a = \frac{1}{8} I_0 V_0 \xi^2 M^2 & \left\{ \frac{(\varphi_0 + \Theta_0)}{(1 - \cos \Phi_0)^2} [\sin \Phi_0 (1 - \cos m \Phi_0) - m (1 - \cos \Phi_0) \sin m \Phi_0] + \right. \\ & \left. + \frac{2 (1 - \cos \varphi_0) - \varphi_0 \sin \varphi_0}{1 - \cos \varphi_0} \frac{1 - \cos m \Phi_0}{1 - \cos \Phi_0} \right\}; \end{aligned} \quad (7)$$

$$\begin{aligned} \bar{P}_r = \frac{1}{8} I_0 V_0 \xi^2 M^2 & \left\{ \frac{(\varphi_0 + \Theta_0)}{(1 - \cos \Phi_0)^2} [\sin \Phi_0 \sin m \Phi_0 - m (1 - \cos \Phi_0) (1 + \cos m \Phi_0)] + \right. \\ & \left. + \frac{2 (1 - \cos \varphi_0) - \varphi_0 \sin \varphi_0}{1 - \cos \varphi_0} \frac{\sin m \Phi_0 - m \sin \Phi_0}{1 - \cos \Phi_0} + m \frac{2 \sin \varphi_0 - \varphi_0 (1 + \cos \varphi_0)}{1 - \cos \varphi_0} \right\}, \end{aligned} \quad (8)$$

где  $M = \sin (\varphi_0/2)/(\varphi_0/2)$ .

Соотношения (7) и (8) обладают известной общностью. Из них следуют формулы, соответствующие отдельным частным случаям, рассмотренным ранее. Так, при условии  $m = 1$  из (7) и (8) находим мощность взаимодействия электронов с высокочастотным полем диода-монотрона [3]. Полагая  $m = 2$ ;  $\rho = 1 - v_0/v_\phi \approx 1$  и  $\varphi_0 = 0$ , получаем выражение, описывающее работу двухрезонаторного кластрона в линейном приближении.

При  $\varphi_0 = 0$  соотношения (7) и (8) описывают систему с бесконечно узкими высокочастотными промежутками [1]. Частным случаем рассмотренного дискретного взаимодействия с бегущей волной является непрерывное взаимодействие электронов с волной постоянной амплитуды [4-7]. Соответствующий предельный переход осуществляется при условии

$$m \rightarrow \infty, \quad (d + l) \rightarrow 0, \quad \left( m - \frac{l}{d + l} \right) (d + l) = L.$$

Предельный переход может быть осуществлен также при конечной величине периода  $d + l$  путем увеличения числа ячеек до бесконечности (сохраняя постоянным угол пролета через систему).

Формула (7) исследована графически. Рассмотрим зависимость высокочастотной мощности от полного относительного угла пролета при изменении некоторых параметров.

Рис. 1 иллюстрирует зависимость активной составляющей мощности от относи-

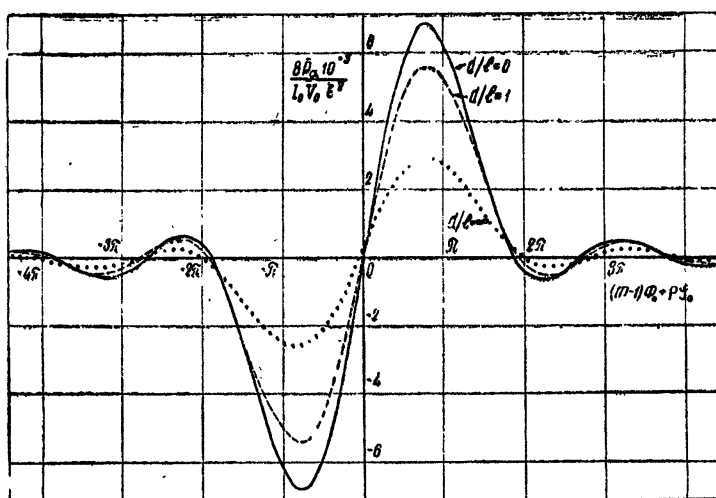


Рис. 1.

тельного угла пролета через систему  $m \Phi_0 - \rho \Theta_0$  при различных значениях отношения протяженности высокочастотного зазора к длине пространства дрейфа ( $d/l = 0; 1; \infty$ ); при этом число зазоров  $m$  и период  $d + l$  были фиксированы (  $m = 20$ ,  $d + l = p$ ,

где  $p = \pi v_0/\omega$ ). Из графиков рис. 1 видно, что величина высокочастотной мощности с увеличением  $d/l$  уменьшается. Это объясняется тем, что при постоянном периоде зависимости мощности от  $d/l$  характеризуется тем, что она пропорциональна величине  $M^2 = [\sin(\varphi_0/2)/(\varphi_0/2)]^2$ . Величина же  $M$  при увеличении  $d$  падает.

При изменении периода системы  $d + l$  качественно картина зависимости мощности от относительного угла пролета сохраняется, но меняется количественное соотношение между кривыми, что также объясняется указанной зависимостью от  $M^2$ .

Сравнительный анализ систем с различным числом зазоров затруднен, так как при изменении  $m$  меняются и ряд других параметров. Если же менять только  $m$ , сохраняя постоянными величины  $d + l$  и  $d/l$ , то это приводит лишь к изменению длины системы, а поэтому к очевидному изменению мощности (увеличению  $\bar{P}_a$  с увеличением  $m$  примерно по кубическому закону).

Чтобы поставить схемы с различным числом ячеек в одинаковые условия, будем полагать длину системы постоянной и считать, что напряженность электрического поля бегущей волны  $E$  в области связи остается одинаковой (используя соотношение  $MV_1 = E(d + l)$  [8]). Положим, кроме того,  $d/l = 1$  и  $m = 5; 20; 50$  ( $L = \text{const}$ ). Рассмотренный случай представлен графически на рис. 2. Из поведения графиков рис. 2 следует, что с увеличением  $m$  величина высокочастотной мощности уменьшается, аналогично тому, как это имеет место в случае бесконечно узких высокочастотных зазоров [1].

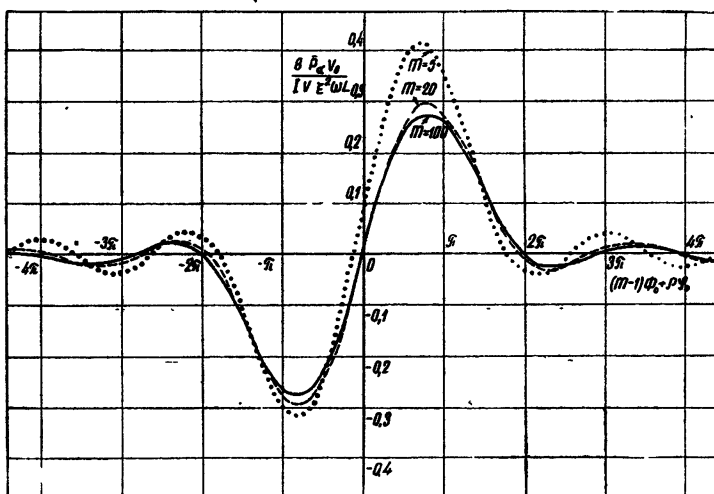


Рис. 2.

## ЛИТЕРАТУРА

1. В. Н. Шевчик, Ю. Д. Жарков, Радиотехника и электроника, 2, 237 (1957).
2. В. М. Лопухин, Возбуждение электромагнитных колебаний и волн, ГИТЛ, М., 1953.
3. С. Д. Гвоздовер, В. М. Лопухин, ЖЭТФ, 16, 528 (1946).
4. В. Н. Шевчик, Радиотехника и электроника, 2, 404 (1957).
5. В. Н. Шевчик, Доклад на конференции Радиосовета АН СССР, апрель, 1955.
6. С. Д. Гвоздовер, Исследование метода усиления электромагнитных колебаний с помощью трубки бегущей волны, отчет, физфак МГУ, 1946.
7. В. М. Лопухин, Диссертация, МГУ, 1947.
8. Лампа с бегущей волной, изд. Сов. радио, М., 1952.

Саратовский государственный университет

Поступила в редакцию  
3 ноября 1958 г.,  
после переработки —  
20 сентября 1959 г.